

С. И. Вяткин, Б. С. Долговесов

(Новосибирск)

**СИНТЕЗ ПОВЕРХНОСТЕЙ СВЕРТКИ  
С РЕКУРСИВНЫМ ДЕЛЕНИЕМ ОБЪЕКТНОГО ПРОСТРАНСТВА**

Предлагается эффективный алгоритм быстрой визуализации поверхностей свертки. Рассматриваются поверхности свертки, ограниченные оболочками свободных форм. Предложен рекурсивный алгоритм деления объектного пространства. Приводятся примеры изображений, полученных при моделировании алгоритма.

**Введение.** Поверхности свертки [1–3] – это интегральное представление неявно заданных поверхностей, известных в компьютерной графике как капельные модели [4, 5] (рис. 1), метасферы [6], мягкие объекты [7]. Данные поверхности сочетают в себе гибкость капельных моделей и компактность скелетных моделей [8] и представляют собой гораздо более мощное средство геометрического моделирования, чем традиционные модели неявных поверхностей [9]. Несмотря на различные названия все эти модели описывают фактически один и тот же объект, а именно изоповерхность  $S$  уровня  $T$  в скалярном поле  $f(\mathbf{p})$ :

$$S = \{\mathbf{p} \in R^3 \mid f(\mathbf{p}) - T = 0\}. \quad (1)$$

Поверхность свертки – это неявная поверхность  $S$  с базовой функцией  $f(\mathbf{p})$ , полученная с помощью свертки:

$$f(\mathbf{p}) = g(\mathbf{p}) * h(\mathbf{p}) = \int_{R^3} g(\mathbf{r})h(\mathbf{p} - \mathbf{r})d\mathbf{r}, \quad (2)$$

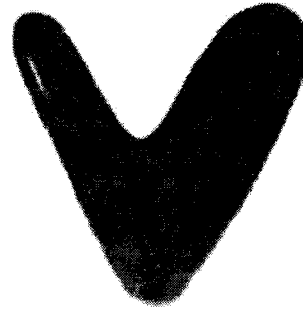
где  $\mathbf{r}$  – расстояние действия поля.

Геометрическая функция  $g(\mathbf{p})$  определяет форму объекта и его положение в трехмерном пространстве. Ядро свертки  $h(\mathbf{p})$  определяет распределение потенциала в каждой точке объекта. Свертка двух функций – это скалярная функция  $f(\mathbf{p})$ , которая является поверхностью свертки. Поверхности свертки – это обычные изоповерхности, с той разницей, что скалярное поле  $f(\mathbf{p})$  для поверхности свертки за-



Рис. 1. Капельная модель

Рис. 2. Поверхность свертки на базе скелетона из двух примитивов



дается с помощью различных геометрических объектов.

**Скелетоны.** Если капельные модели построены из точечных компонентов-капель, то поверхности свертки базируются на более разнообразном выборе: точки, отрезки, дуги, треугольники, плоскости и в принципе любые геометрические примитивы. Скелетон – это совокупность геометрических примитивов, которые вместе определяют общие очертания объекта. В терминах поверхностей свертки скелетон задается суммой геометрических функций  $g(\mathbf{p})$ . Оператор свертки обладает свойством линейности, что позволяет считать поле от всего скелетона по частям, а также строить сложные примитивы из простых компонентов. Например, из дуг можно легко строить кольца и спирали, из треугольников – многоугольники и т. д. Итак, скелетон есть сумма (объединение) геометрических функций  $g = \sum_{i=1}^N g_i$  и  $f = h * \sum_{i=1}^N g_i$ , которая также равна  $\sum_{i=1}^N h * g_i$ , потому что свертка – это линейный оператор.

Пример свертки с отрезками показан на рис. 2. В работе [1] описаны функция поля и два параметра: собственный радиус  $R$  и параметр округлости  $B$ . Первый параметр задает размер сферы – изоповерхности от отдельно взятого точечного примитива, т. е. это расстояние между геометрическим примитивом и неявно заданной поверхностью. Вторым параметром определяется степень округлости объекта относительно скелетона.

Параметры  $R$  и  $B$ , введенные для точечной капельной модели, можно легко перенести на более сложные примитивы, например, отрезки, дуги, треугольники и плоскости. На рис. 3 и 4 показана поверхность с одним и тем же скелетоном и разными значениями  $R$  и  $B$ . Целесообразно включать собственный радиус и параметр округлости в набор параметров, задающих оптические свойства поверхности, такие, как цвет, коэффициенты преломления, отражения и т. д. Таким образом, можно расширить понятие материала, который помимо чисто фотометрических характеристик теперь еще несет и геометрическую информацию об объекте.

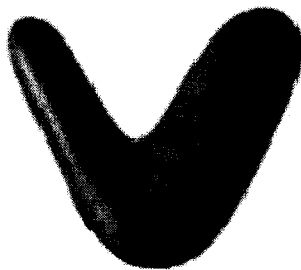


Рис. 3. Поверхность свертки

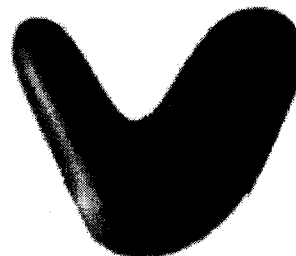


Рис. 4. Поверхность свертки с увеличенными параметрами  $R$  и  $B$

Для генерации полутоновых изображений используется алгоритм трассировки лучей. Чтобы найти точки поверхности свертки, необходимо в каждой точке трехмерного пространства шаг за шагом проверять знак функции, когда точка, принадлежащая поверхности и лежащая на луче, найдена. Если поверхность непрозрачная, процесс вычислений для этого луча прекращается. Чтобы ускорить вычисления, в работе [9] был предложен быстрый алгоритм трассировки лучей с применением ограничивающих объемов. Более того, чтобы еще уменьшить количество вычислений, были предложены два вида кластеризации объектов (Volatile and Permanent Clusters).

В данной работе предлагается более эффективный алгоритм быстрой визуализации поверхностей свертки с применением ограничивающих оболочек свободных форм и рекурсивного деления объектного пространства.

**Ядра свертки.** Рассмотрим известные ядра свертки, отметим их достоинства и недостатки, выберем и обоснуем наиболее оптимальное ядро для моделирования поверхности свертки.

1. Функция Гаусса [1, 4, 8]:

$$h(r) = \exp(-a^2 r^2)^2, \quad r > 0. \quad (3)$$

Для таких примитивов, как точки, линии и плоскости, поведение данной функции корректно, но для дуг и треугольников не годится.

2. Обратноквадратичная функция [7]:

$$h(r) = 1/r^2, \quad r > 0. \quad (4)$$

Данная функция ведет себя корректно с разными примитивами, однако для плоскостей не сходится. Решение для дуг выражается через эллиптический интеграл, который очень сложен для вычисления.

3. Полином четвертой степени *W*-формы [9]:

$$h(r) = (1 - r^2)^2, \quad r < 1. \quad (5)$$

С такими примитивами, как точки, линии, плоскости и дуги, данная функция ведет себя корректно, но для треугольников не годится.

4. Функция Коши [9]:

$$h(r) = 1/(1 + s^2 r^2)^2, \quad r > 0, \quad (6)$$

где  $r$  – радиус, а  $s$  – коэффициент, с помощью которого контролируется ширина ядра. Функция Коши ведет себя корректно с полным набором геометрических примитивов. С помощью такого ядра можно вычислить аналитически интеграл свертки (2).

**Методы визуализации.** Рассмотрим известные методы визуализации, отметим их достоинства и недостатки, обоснуем наш выбор в пользу многоуровневого рекурсивного деления объектного пространства, предложенного в данной работе.

*Маршировка по лучу.* Это метод «грубой силы» пошаговых вычислений вдоль луча, функция  $f(t)$  вычисляется на каждом шаге. Первое изменение

знака функции  $f(t)$  сигнализирует о том, что найдена поверхность  $F(r) = f(t) = 0$ . Главный недостаток этого метода заключается в том, что он очень медленный и не гарантирует обнаружение поверхности.

*Метод LG-поверхности.* Разработан метод обнаружения поверхности с применением  $L$ - и  $G$ -параметров, которые являются константами Липшица для функции  $f$  и производной  $df/dt$  вдоль луча. Для неалгебраической функции  $f$  вычисления  $L$ - и  $G$ -параметров становятся сложными, даже если они представлены в символической форме.

*Трассировка луча с анализом интервала.* Данный метод является модификацией метода  $LG$ -поверхности.

*Быстрая трассировка луча* [9]. Данный метод лишен недостатков перечисленных выше методов, однако поиск лучей, пересекающих поверхность, сложен и не достаточно эффективен, поскольку способы кластеризации этого метода не решают данную проблему полностью.

*Синтез поверхностей свертки с рекурсивным делением объектного пространства.* Этот алгоритм предлагается в данной работе, он лишен всех недостатков вышеперечисленных методов и вобрал в себя все их положительные качества. Кроме того, данный алгоритм максимально адаптирован к аппаратной реализации.

**Ограничивающие оболочки.** В работе [9] для уменьшения количества вычислений предложены ограничивающие объемы нескольких видов: для точки – это сфера; для отрезка – один цилиндр и две сферы; для дуги – часть тора и две сферы; для треугольника – три цилиндра, три сферы и одна призма; для плоскости – одна бесконечная пластина. В данной работе предлагается ввести ограничивающие оболочки свободных форм относительно не только всех перечисленных примитивов, но и самой поверхности свертки (см. рис. 4).

Квадрика является основой для построения оболочек свободных форм и определяется с помощью вещественной непрерывной описывающей функции трех переменных  $(x_1, x_2, x_3)$ . Рассматриваются квадрики как замкнутые подмножества евклидова пространства  $E_n$ , определяемые описывающей функцией  $F(X) \geq 0$ , где  $F$  – непрерывная вещественная функция;  $X = (x_1, x_2, x_3)$  – точка в  $E_n$ , задаваемая координатными переменными. Здесь  $F(X) > 0$  задает точки внутри квадрики;  $F(X) = 0$  – точки на границе;  $F(X) < 0$  – точки, лежащие снаружи и не принадлежащие квадрике. Предлагается описывать сложные геометрические объекты, задавая функцию отклонения (второго порядка) от базовой квадрики в виде

$$F(x, y, z) = A_{11}x^2 + A_{22}y^2 + A_{33}z^2 + A_{12}xy + A_{13}xz + A_{23}yz + \\ + A_{14}x + A_{24}y + A_{34}z + A_{44} \geq 0. \quad (7)$$

На базе квадрики строятся свободные формы [10]. Свободная форма есть композиция базовой квадрики и возмущения  $F'(x, y, z) = F(x, y, z) + R(x, y, z)$ , где функция возмущения  $R(x, y, z)$  находится следующим образом:

$$R(x, y, z) = \begin{cases} Q^2(x, y, z) & \text{при } Q(x, y, z) > 0; \\ 0 & \text{при } Q(x, y, z) \leq 0, \end{cases} \quad (8)$$

$Q(x, y, z)$  – возмущающая квадрака.

В качестве  $Q$  также может быть возмущенная квадрака (свободная форма). Другими словами, композиция базовой квадраки и функции отклонения являются новой функцией возмущения, т. е. производной для другой базовой квадраки. Вследствие того что  $\max[Q + R] \leq \max[Q] + \max[R]$ , для оценки максимума  $Q$  на некотором интервале необходимо вычислить максимум функции возмущения на этом же интервале.

**Алгоритм растривания.** Благодаря ограничивающим оболочкам можно сканировать не все трехмерное пространство, а лишь ту его часть, которая ими ограничена, и чем плотнее оболочки будут подогнаны к поверхностям, тем меньший объем надо просканировать, пока не будет выделена поверхность свертки. В данной работе использовался алгоритм многоуровневого рекурсивного деления объектного пространства [11, 12], осуществляющий эффективный поиск лучей, пересекающих оболочки, и точек пересечения луча с поверхностью оболочки. Предлагаемый алгоритм совмещает в себе такие свойства, как универсальность, надежность и эффективность. Он удовлетворяет следующим двум необходимым условиям.

Условие 1: а) функция  $f(t)$  является  $C^1$ -непрерывной для всех  $t$ ; б) функция  $f(t)$  и ее производная  $df(t)/dt$  имеют ненулевые значения внутри неперекрывающихся интервалов  $[t_i, t_{2i}]$ , где  $i=1, \dots, k$  – номера интервалов.

Условие 2 гарантирует, что каждый объект, заданный функцией  $f$ , может быть заключен в ограничивающую оболочку.

Алгоритм включает два основных этапа: первый – это поиск пересечений луча с оболочкой, второй – поиск точек поверхности свертки. На первом шаге рекурсии исходная пирамида видимости разбивается на четыре меньшие подпирамиды в экранной плоскости. На этапе деления пространства по четверичному дереву рекурсивное преобразование коэффициентов квадраки-оболочки выглядит так:

$$\begin{aligned} A'_{11} &= A_{11}/4; & A'_{22} &= A_{22}/4; & A'_{33} &= A_{33}; \\ A'_{12} &= A_{12}/4; & A'_{13} &= A_{13}/2; & A'_{23} &= A_{23}/2; \\ A'_{14} &= A_{14}/2 + iA_{11}/2 + jA_{12}/4; & A'_{24} &= A_{24}/2 + iA_{12}/4 + jA_{22}/2; & (9) \\ A'_{34} &= A_{34} + iA_{13}/2 + jA_{23}/2; & A'_{44} &= A_{44} + iA_{14}/4 + jA_{24}/4; \\ A''_{44} &= A'_{44} + iA'_{14}/2 + jA'_{24}/2, \end{aligned}$$

где коэффициенты без штриха берутся с предыдущего шага рекурсии; переменные  $i, j = \pm 1$  определяются в зависимости от направления погружения в рекурсию ( $i$  погружается по оси  $x$ ,  $j$  – по оси  $y$ ). Полученные коэффициенты используются в тесте на пересечение (пересечение луча с оболочкой). Для каждой новой подпирамиды выполняется тест на пересечение. Если в уравнении квадраки-оболочки  $Q(x, y, z) = 0$  значения переменных  $x, y, z$  меняются в пределах отрезка  $[-1, 1]$ , то

$$\begin{aligned} \max[|Q(x, y, z) - A_{44}|] &\leq \max F = \\ &= |A_{11}| + |A_{22}| + |A_{33}| + |A_{12}| + |A_{13}| + |A_{23}| + |A_{14}| + |A_{24}| + |A_{34}|. \end{aligned} \quad (10)$$

Рис. 5. Выделенная поверхность – берцовая кость человека. Ограничивающая оболочка показана светлым фоном



Теперь заметим, что если  $|A_{44}| \leq \max[|Q(x, y, z) - A_{44}|] \leq \max F$ , то, возможно, существует точка  $M_0 = (x_0, y_0, z_0)$  ( $-1 < x_0, y_0, z_0 < 1$ ) такая, что  $Q(x_0, y_0, z_0) = 0$ . Пирамиды, которые лежат внутри квадрики-оболочки целиком или частично, а внешние подпирамиды заведомо исключаются из обработки. Тест на пересечение подпирамид с оболочками свободных форм несколько отличается. Для базовой квадрики-оболочки тест на пересечение выглядит следующим образом. Если

$$((A_{44} + R) < 0) \& (|A_{11}| + |A_{22}| + |A_{33}| + |A_{12}| + |A_{13}| + |A_{23}| + |A_{14}| + |A_{24}| + |A_{34}| < -(A_{44} + R)), \quad (11)$$

тогда подпирамида находится снаружи. Здесь  $R$  – максимум функции возмущения на текущем интервале, а  $A_{ij}$  – коэффициенты квадратичной функции. Для функции возмущения проводится тест. Если

$$(|A_{11}| + |A_{22}| + |A_{33}| + |A_{12}| + |A_{13}| + |A_{23}| + |A_{14}| + |A_{24}| + |A_{34}| < |A_{44}|), \quad (12)$$

тогда подпирамида находится снаружи области определения возмущения, где  $A_{ij}$  – коэффициенты квадратичной функции возмущения. Дополнительно вычисляется значение  $R$ , которое служит добавкой к базовой функции. Если пересечение имеет место, то подпирамида подвергается следующему уровню рекурсии. Подпирамиды, не пересекающиеся с оболочкой, в дальнейшем не обрабатываются. Это исключает из рассмотрения квадратные области экрана, на которые данная подпирамида (следовательно, и поверхность оболочки) не отображается (рис. 5). Деление пирамиды видимости ведется до тех пор, пока не достигается максимально установленный уровень рекурсии. Преимущество этой методики в том, что она позволяет на ранней стадии «отбросить» большие части пустого пространства. В процессе поиска точек, содержащих в себе участки поверхности оболочки (рис. 6), осуществляется обход пирамидального пространства по четверичному дереву, листья которого являются корнями двоичных деревьев. Алгоритм многоуровневого рекур-

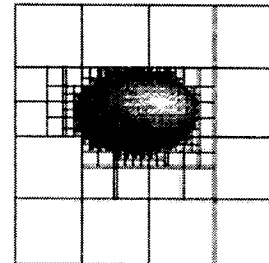


Рис. 6. Проекция подпирамид разных уровней пирамиды видимости на экранную плоскость

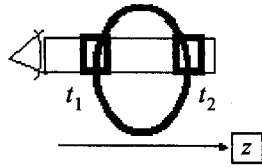


Рис. 7. Пересечения луча с поверхностью ограничивающей оболочки

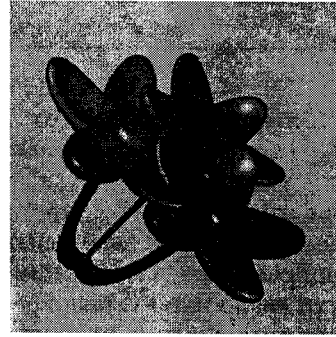


Рис. 8. Поверхность свертки на базе скелетов нескольких видов

сивного деления объектного пространства позволяет эффективно и быстро определить принадлежность лучей разных уровней (пирамид) поверхностям оболочек и отбраковать области пространства вне оболочек.

В соответствии с теоремой Вейерштрасса любая непрерывная функция  $f$  может быть аппроксимирована на замкнутом интервале с помощью полинома  $p$  так точно, как это необходимо. В нашем случае интервал  $[t_1, t_2]$  (рис. 7) вычисляется после нахождения пересечений луча с оболочкой. Далее вычисляется средняя точка  $t_{mid}$  этого интервала. Все уравнения для выделения поверхности свертки необходимо решать для подинтервалов  $[t_1, t_{mid}]$  и  $[t_{mid}, t_2]$ , чтобы получить кусочно-непрерывное представление функции  $f$  на интервале  $[t_1, t_2]$ . Это обеспечит низкий порядок функции,  $C^1$ -непрерывность и вычислительную эффективность. Результирующие интервалы  $t_1$  и  $t_2$  определяют геометрическое положение вдоль луча, где поле ненулевое. Затем для каждого интервала  $t_i$  соответствующая функция поля  $f_i$  интерполируется полиномом  $p_i$ . На последнем этапе вычислений все интервалы сортируются вдоль луча в последовательности  $t_1, t_2, t_3$  и т. д. Таким образом, для каждой функции  $f_i$  вычисляются пересечения луча с соответствующей оболочкой. Уравнения изоповерхности решаются для корней  $t$  на всех интервалах. В общем случае число корней в каждом интервале зависит от степени всех интерполяционных полиномов  $p_i(t)$ , определенных на этом интервале. Эти корни могут оказаться вне интервала. Поэтому в алгоритме есть проверка на принадлежность всех корней каждому интервалу. Пример поверхности свертки, иллюстрирующий результат работы данного алгоритма, показан на рис. 8.

**Заключение.** В работе [9] для поиска лучей, пересекающих оболочки, применяется кластеризация двух видов, однако их эффективность значительно уступает предложенному в данной работе алгоритму. Это особенно заметно для равномерно распределенных по пространству небольших объектов, которые плохо объединяются в кластеры. К основным положительным особенностям предлагаемого алгоритма следует отнести:

1. Эффективность метода растривания, сочетающего простоту вычисления с быстрым поиском и отбраковкой областей, не занятых объектами сцены.
2. Уменьшение количества вычислений за счет применения оболочек свободных форм.
3. Адаптация к аппаратной реализации.

Время вычислений при введении ограничивающих оболочек для разных сцен в среднем уменьшается на порядок. Еще на порядок уменьшается время вычислений при рекурсивном делении объектного пространства, поскольку обрабатываются только те лучи, которые пересекают поверхности оболочек. В методе [9] лучи, проходящие мимо оболочек, отбраковываются только после соответствующих вычислений, в то время как в предлагаемом алгоритме области, не занятые объектами сцены, отбраковываются большими частями на более ранних этапах. При аппаратной реализации данного алгоритма все вычисления легко распараллеливаются и могут быть организованы в виде вычислительного конвейера.

#### СПИСОК ЛИТЕРАТУРЫ

1. **Bloomenthal J., Shoemake K.** Convolution surfaces // Computer Graphics. 1991. **25**, N 4. P. 251.
2. **Bloomenthal J.** Bulge elimination in convolution surfaces // Computer Graphics Forum. 1997. **16**, N 1. P. 1.
3. **McCormack J., Sherstyuk A.** Creating and rendering convolution surfaces // Computer Graphics Forum. 1998. **17**, N 2. P. 113.
4. **Blinn J. F.** A generation of algebraic surface drawing // ACM Transactions on Graphics. 1982. **1(3)**. P. 235.
5. **Muraki S.** Volumetric shape description of range data using "blobby model" // Computer Graphics. 1991. **25**, N 4. P. 227.
6. **Nishimura H., Hirai M., Kawai T. et al.** Object modelling by distribution function and a method of image generation // The Transactions of the Institute of Electronics and Communication Engineers of Japan. 1985. **J68-D(4)**. P. 718.
7. **Wyvill G., McPheeters C., Wyvill B.** Data structure for soft objects // The Visual Computer. 1986. **2(4)**. P. 227.
8. **Brandt J., Algazi R. V.** Continuous skeleton computation by Voronoi diagram // Computer Vision, Graphics, and Image Processing: Image Understanding. 1992. **55**, N 3. P. 329.
9. **Sherstyuk A.** Fast ray tracing of implicit surfaces // Computer Graphics Forum. 1999. **18**, N 2. P. 145.
10. **Вяткин С. И., Долговесов Б. С., Есин А. В. и др.** Геометрическое моделирование и визуализация функционально заданных объектов // Автометрия. 1999. № 6. С. 84.
11. **Vyatkin S. I., Dolgovesov B. S., Yesin A. V. et al.** Voxel-Volumes volume-oriented visualization system: Intern. Conf. on Shape Modelling and Applications (March 1–4, 1999, Aizu-Wakamatsu, Japan) // IEEE Comput. Soc. Los Alamitos, California, 1999. P. 234.
12. **Vyatkin S. I., Dolgovesov B. S., Guimaoutdinov O. Y.** Synthesis of virtual environment using perturbation functions: World Multiconference on Systemics, Cybernetics and Informatics Proceedings (Orlando, Florida, USA, July 22–25, 2001) // Emergent Computing and Virtual Engineering. 2001. V. III. P. 350.

*Институт автоматики и электрометрии СО РАН,  
E-mail: sivser@mail.ru*

*Поступила в редакцию  
31 января 2002 г.*